

RECUPERACIÓN SECUNDARIA

I) Generalidades de la Recuperación Secundaria

II) Métodos Predictivos de Cálculo en reservorios:

a) Reservorios Homogéneos: Flujo

Difuso

Segregado

Intermedio

b) Res Heterogéneos

Con comunicación vertical: Flujo

Difuso

Segregado

Sin comunicación vertical: Métodos

Style

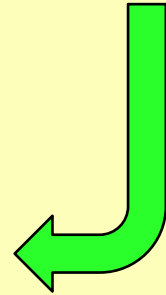
D&P

CGM

III) Disposición de pozos: arreglos

IV) Calidad de Agua de Inyección

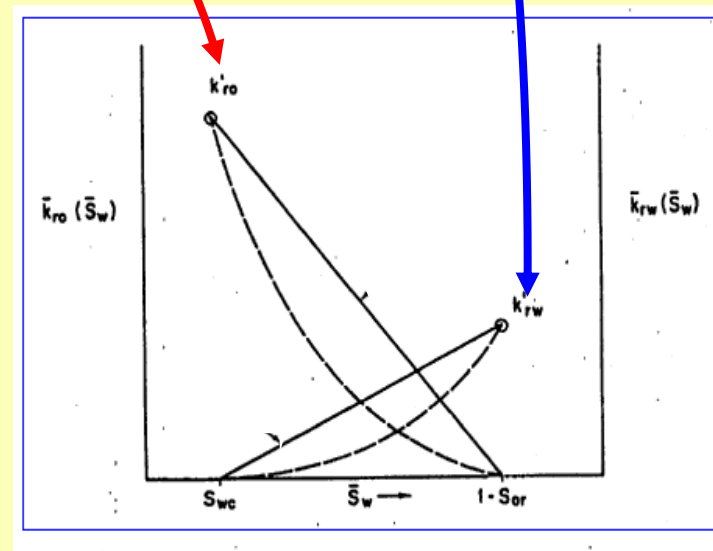
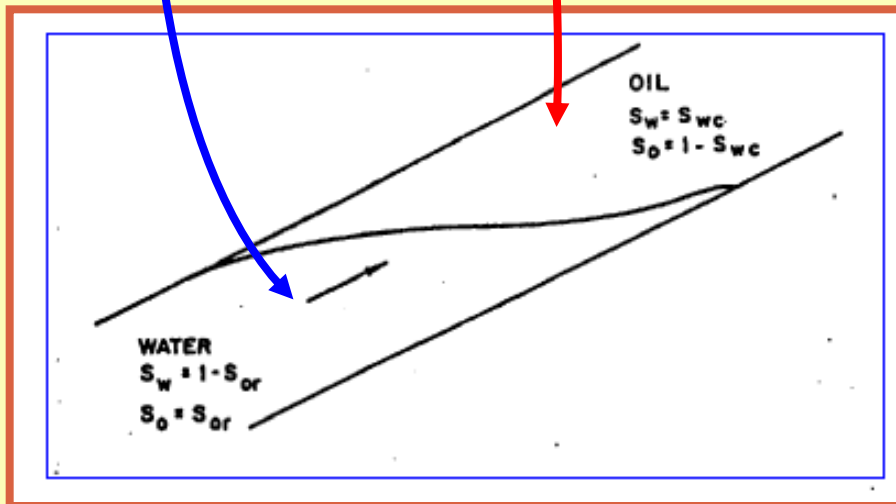
V) Monitoreo de Proyectos de Recuperación Secundaria



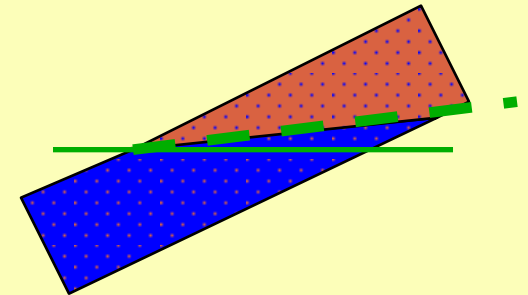
Reservorio homogéneo: Desplazamiento bajo condiciones de FLUJO SEGREGADO

- En la **parte barrida del reservorio** solo se mueve agua en presencia de petróleo residual, siendo la $k_w = k k'_{rw}$ y
- en la **zona no barrida**, sólo fluye petróleo en presencia del agua connata, siendo la $k_o = k k'_{ro}$

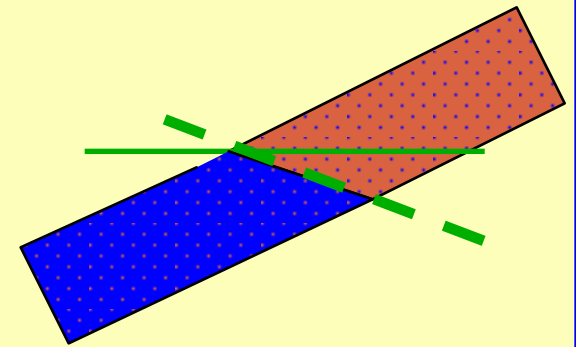
Dake Fundamentos pag. 372

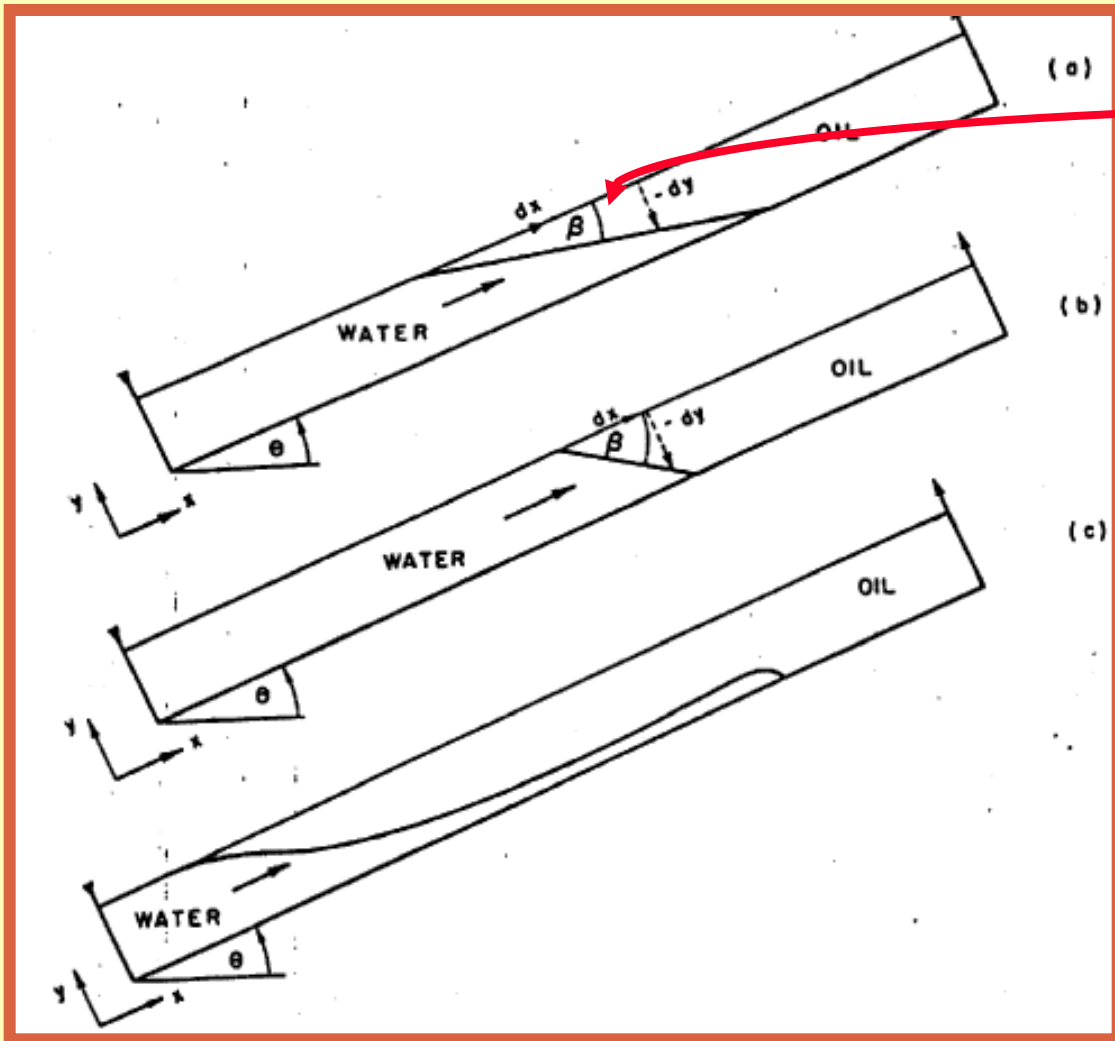


- Además en cualquier punto de la interface agua-petróleo se considera que la **PRESIÓN ES IGUAL**. Lo que implica la **NO EXISTENCIA DE UNA ZONA DE TRANSICIÓN CAPILAR**.



- El desplazamiento es gobernado por el **EQUILIBRIO VERTICAL**, pero al no haber zona de transición capilar, **las FUERZAS GRAVITACIONALES**, como consecuencia de $\Delta\delta$ entre los fluidos, son las responsables de la distribución instantánea de los fluidos en la dirección perpendicular al buzamiento.





Para que el **desplazamiento** sea **ESTABLE** β el ángulo entre la **interfase de los fluidos** y la **dirección del flujo** debería mantenerse **cte** a través del desplazamiento, fig. (a) y (b) tal que

$$\frac{dy}{dx} = -\tan \beta = cte$$

Que se da a **bajos caudales de inyección** cdo las fuerzas gravitacionales ($\Delta\delta$ entre los fluidos), actúen para llevar la interfase a la horizontal.

Si $q=0$ la interfase será horizontal.

Si el q es alto: **fuerzas viscosas \gg fuerza gravitatoria** aparece un desplazamiento inestable, fig. (c). Debido a la $\Delta\delta$ el agua forma una **lengua por debajo del petróleo** generando una **rotura prematura**. La condición de desplazamiento inestable ocurrirá para el condición límite de **$\tan \beta = 0$**

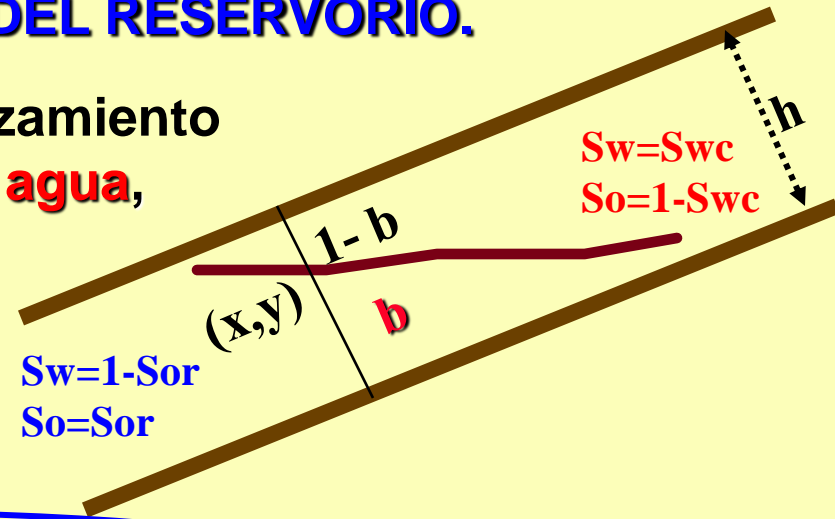
Dado un **DESPLAZAMIENTO SEGREGADO** de petróleo por agua en un **reservorio homogéneo** el **DESPLAZAMIENTO** será **BIDIMENSIONAL**

Para reducir el problema a **UNA DIMENSIÓN** (para aplicar Buckley-Leverett) es necesario **PROMEDIAR** la **Sw** y las **kr** **SOBRE EL ESPESOR DEL RESERVORIO** y así el flujo puede describirse como **OCURRIENDO A LO LARGO DE LA LINEA CENTRAL DEL RESERVORIO**.

Dado un punto x en la línea del desplazamiento y definiendo **b = espesor fraccional de agua**, tal que **b = y/h**,

La Sw prom. respecto al espesor en el punto x es:

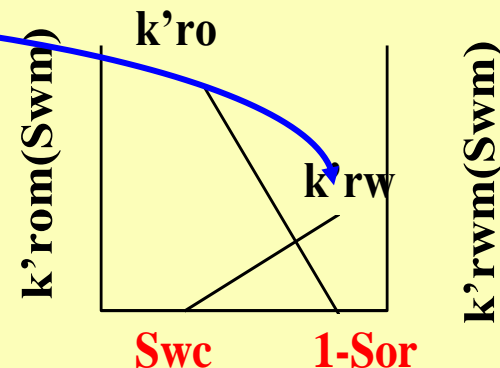
$$S_{wmed} = b(1 - S_{or}) + (1 - b)S_{wc}$$



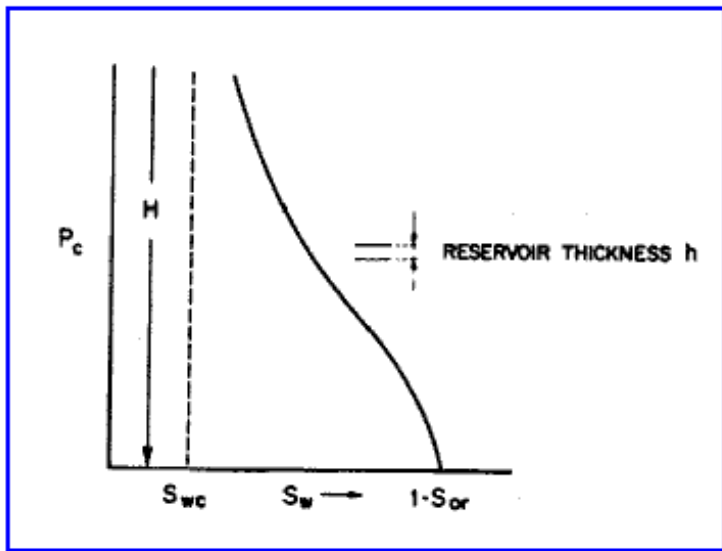
$$k_{rwmed}(S_{wmed}) = \left(\frac{S_{wmed} - S_{wc}}{1 - S_{or} - S_{wc}} \right) k'_{rw}$$

$$k_{romed}(S_{wmed}) = \left(\frac{1 - S_{or} - S_{wmed}}{1 - S_{or} - S_{wc}} \right) k'_{ro}$$

Las **kr promediadas** según el espesor son **funciones lineales de la Sw promedio** según dicho espesor



Reservorio Homogéneo. Efecto de la zona de transición capilar en los cálculos de desplazamiento de petróleo cuando $h \cong H$



h : espesor del reservorio

H : espesor de la zona de transición capilar,

La distribución de la S_w puede aproximarse como uniforme o segregada dependiendo de

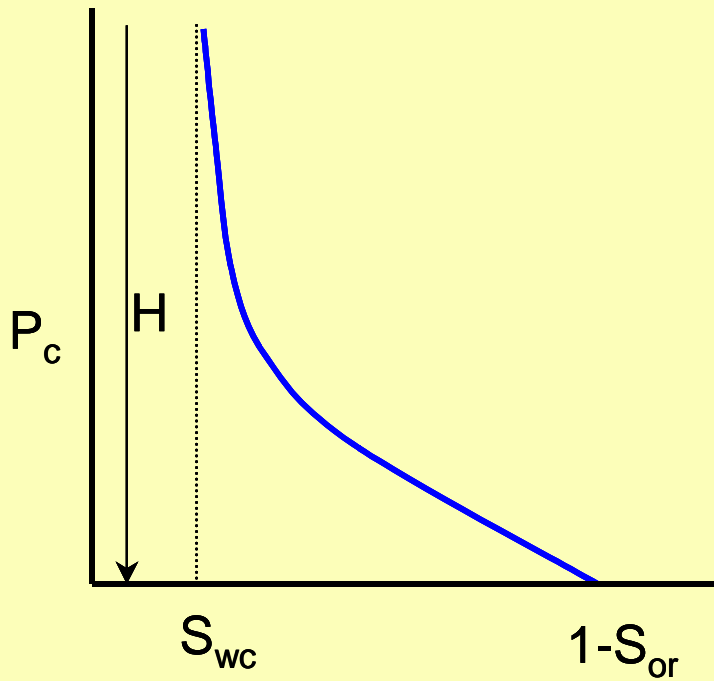
$H \gg h \implies$ uniforme o difuso

$H \ll h \implies$ segregado

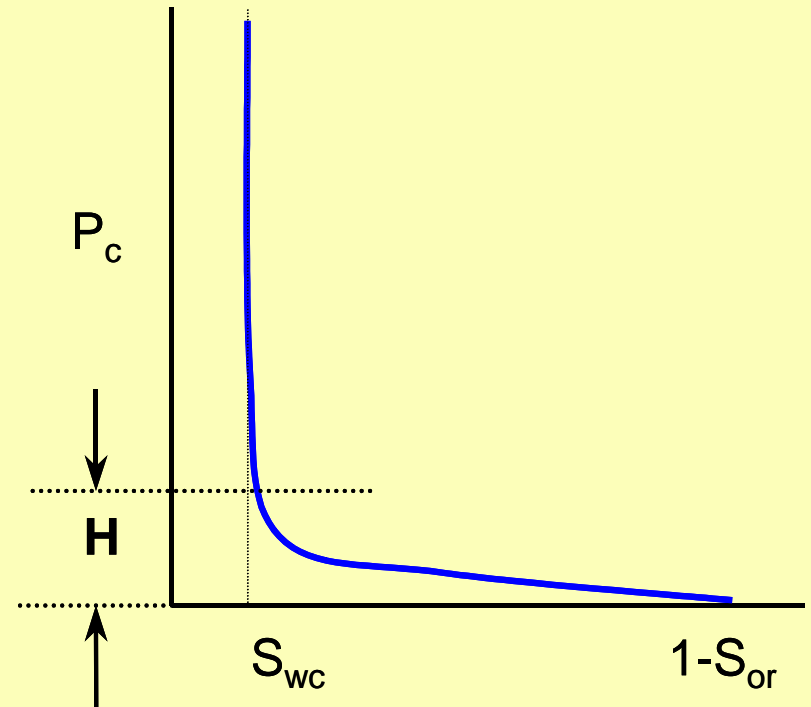
• Si el reservorio es muy delgado en comparación con la zona de transición capilar la saturación del frente de agua que avanza aparecerá como uniformemente distribuida respecto al espesor.

• Si la zona de transición es despreciable comparado con el del reservorio aparecerá que el petróleo y el agua están segregados. Las permeabilidades relativas lineales pueden usarse para describir tal desplazamiento.

PRESIÓN CAPILAR



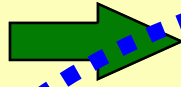
Zona de gran transición



Zona de transición pequeña

La P_c de la zona de transición es de 3 psi y $\gamma_w=1.04$ y $\gamma_o=0.81$:

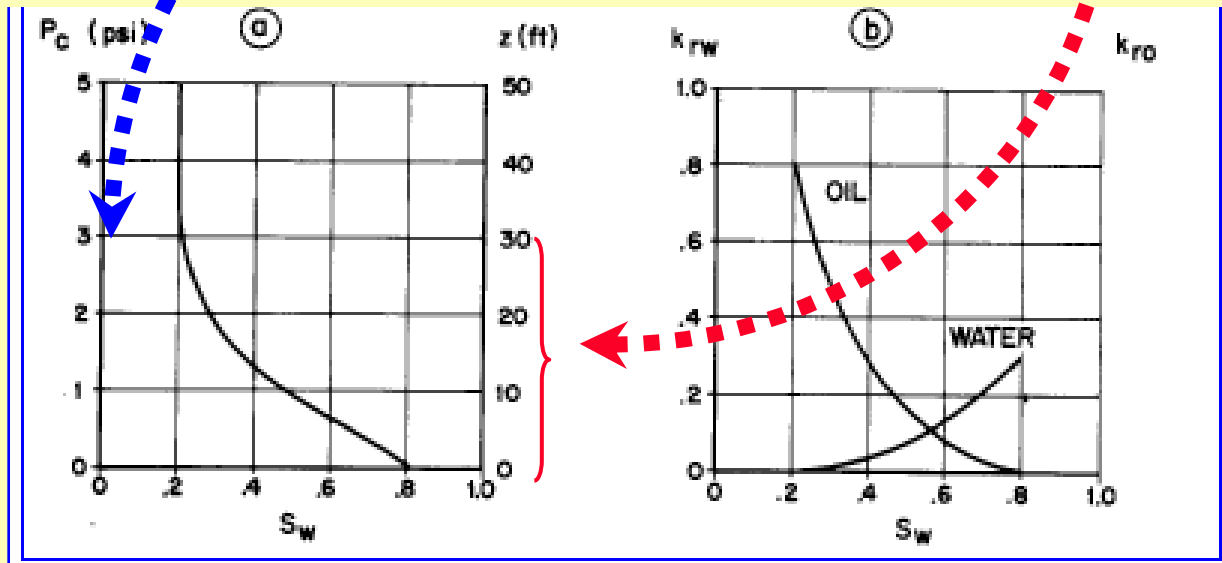
$$dP_c = 0,4335 \Delta\gamma dz$$



$$dP_c = 0.4335(1.04 - 0.81)dz = 0.1 dz$$

Si $P_c = 3$ psi la altura de la zona de transición será $H = 30$ ft.

Si $h = 40$ ft no puede asumirse que el desplazamiento, es difuso ni segregado.



Es necesario generar **curvas de permeabilidades relativas promediadas**, las cuales son funciones de **las S_w promediadas para esos espesores**, para luego usarse en los cálculos de recuperación de petróleo.

Resolución gráfica

3 representa la **distribución de agua en función del espesor**. Para $S_{w\text{máx}} = 1 - S_{\text{or}}$, $P_c = 0$, y **para este caso inicial se ubica en la base del reservorio**.

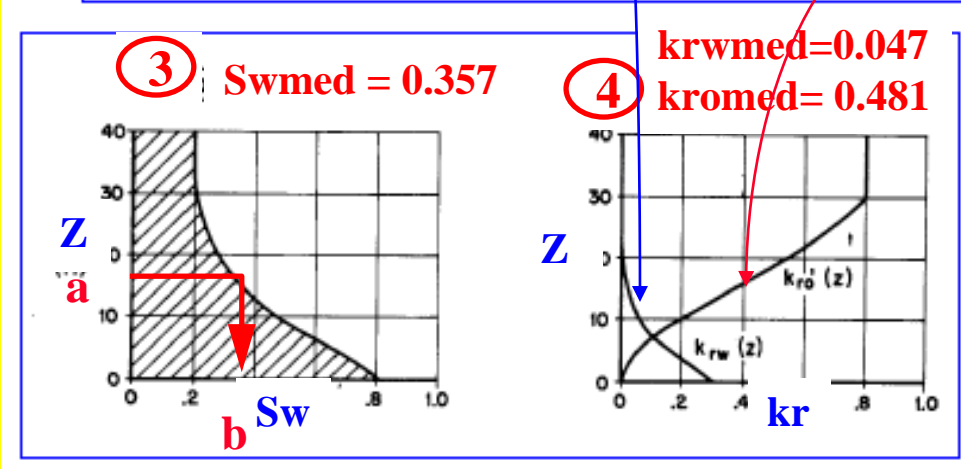
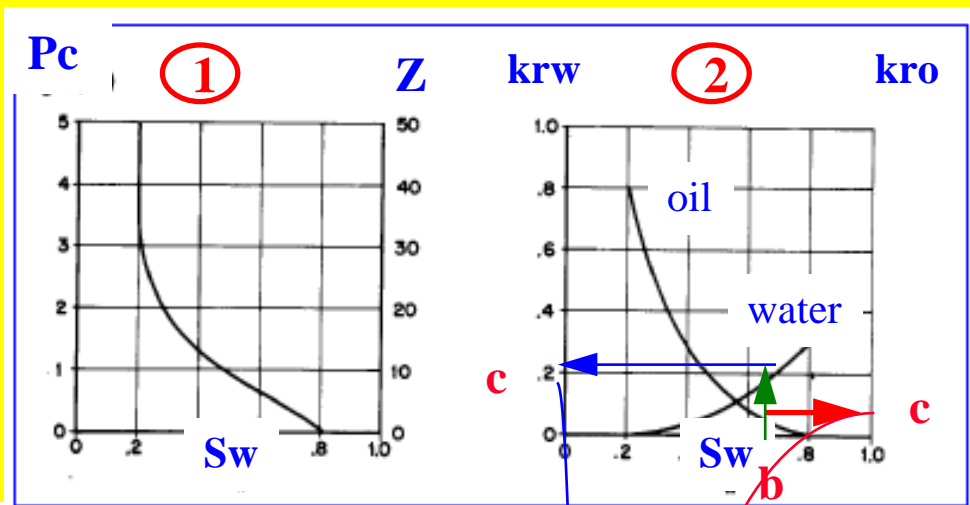
Por encima de la base: $S_w = f(P_c)$
 Si el reservorio es homogéneo la S_w promediada en función del espesor se calcula con:

$$S_{w\text{med}} = \frac{\int_0^h S_w(z) dz}{h}$$

que gráficamente es el área marcada en 3 dividida por el espesor h.

Para esta ejemplo: $S_{w\text{med}} = 0.357$

2 Representan **kr puntuales en el reservorio y dependen de la S_w en el punto en estudio**. Dada la distribución de S_w de 3 obtengo 4 la **distribución de k_{ro} y k_{rw} respecto al espesor**: selecciono una altura en el reservorio en 3 y leo su S_w y luego veo cual es su kr en 2. Esta distribución de **kr promediadas con el espesor** se muestra en 4 cuando la S_w en la base de la formación es $S_w = 1 - S_{\text{or}}$



Distribución de kr promediadas con el espesor

z (ft)	Sw (fig 3)	krw (fig.2)	kro (fig 2)
0	.800	.300	0
5	.650	.170	.055
10	.470	.060	.195
15	.375	.020	.370
20	.275	.006	.540
25	.225	.002	.690
30	.200	0	.800
40	.200	0	.800

Matemáticamente las kr promediadas con el espesor se calculan con:

$$k_{rwmed} (S_{wmed}) = \frac{\int_0^h k_{rw} (S_w (z)) dz}{h} \qquad k_{romed} (S_{omed}) = \frac{\int_0^h k_{ro} (S_w (z)) dz}{h}$$

Estos valores de las kr promediadas con el espesor se obtienen gráficamente midiendo el área a la izquierda de cada curva en la fig. 4 y dividiendo por el espesor total del reservorio.

Para la condición inicial de máxima Sw en la base del reservorio en el punto bajo estudio, en este ejemplo

$$S_{wmed} = 0.357$$

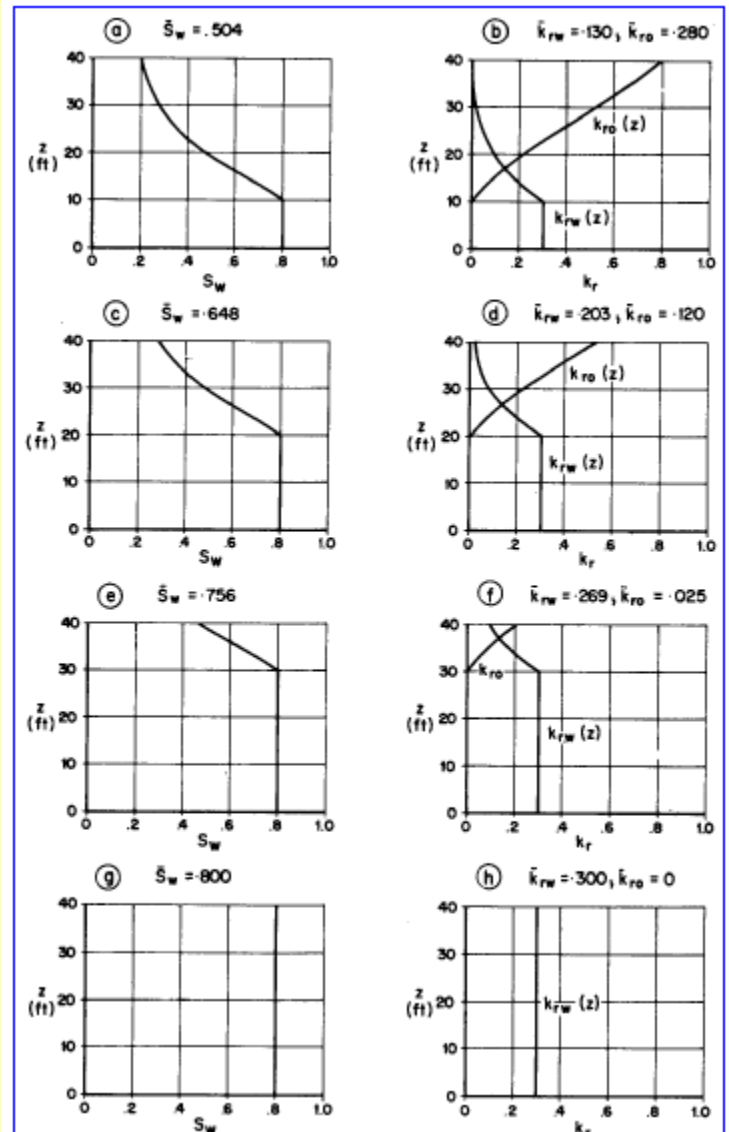
$$k_{rwmed} (S_{wmed}) = 0.047$$

$$k_{romed} (S_{wmed}) = 0.481$$

Generar nuevas curvas a planos arbitrarios de $S_{w\text{máx}} = 1 - S_{\text{or}}$ elevándolos en incrementos de 10 ft. y se recalculan las nuevas **Swmed** en el espesor y sus correspondientes **krmed**.

Físicamente corresponde a lo que se ve en un punto fijo del reservorio a medida que el frente pasa por el mismo.

Se satisface la **condición de equilibrio vertical**, el agua y el petróleo se distribuyen instantáneamente de acuerdo a las curvas de Pc.

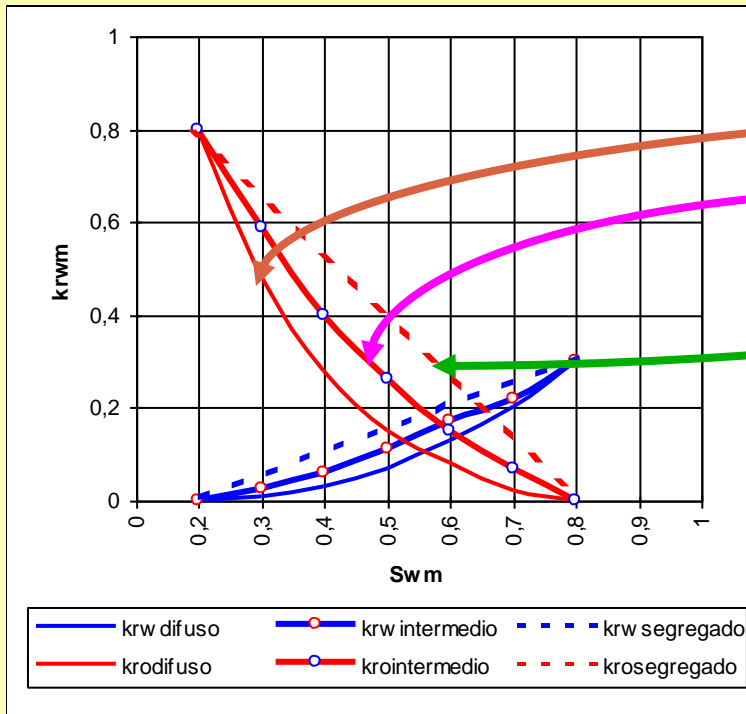


Las $k_{r\text{wmed}}(S_{w\text{med}})$, y $k_{r\text{omed}}(S_{w\text{med}})$ son **permeabilidades relativas promediadas en el espesor** y se las conoce también como "**pseudopermeabilidades**".

S_{wmed}	$k_{rwmed}(S_{wmed})$	$k_{romed}(S_{wmed})$	$P^{\circ}c$ (psi)
.20 (S_{wc})	0	.8	5.0
.357	.047	.481	2.0 (Z= 0)
.504	.130	.280	1.0 (Z=10)
.648	.203	.120	0 (Z=20)
.756	.269	.025	-1.0 (Z=30)
.800	.300	0	-2.0 (Z=40)

Se incluyen valores de la S_{wc}

se incluye la pseudo presión capilar: $P^{\circ}c$
Viene de MLC2-14



Curvas de k_{rw} para un reservorio homogéneo cuando el flujo es 1) difuso, 2) segregado y 3) intermedio, este último cuando la zona de transición capilar es comparable con el espesor del reservorio

Usando estas **pseudocurvas** se reduce la descripción del desplazamiento de bidimensional a unidimensional **a lo largo de la línea central del reservorio**. Se puede aplicar la teoría de B-L y la solución de Welge.

La técnica gráfica para determinar k_{rm} es muy laboriosa.

En la práctica se computan las **FUNCIÓNES** de k_r de la roca y la de P_c

Las saturaciones y k_{rm} se obtienen por resolución numérica de las ecuaciones para distintos planos de $S_{wmax}=1-S_{or}$

$$S_{wmed} = \frac{\int_0^h S_w(z) dz}{h}$$

$$k_{rwmed}(S_{wmed}) = \frac{\int_0^h k_{rw}(S_w(z)) dz}{h}$$

$$k_{romed}(S_{omed}) = \frac{\int_0^h k_{ro}(S_w(z)) dz}{h}$$

restando ambas ec. y usando unidades de campo se tiene:

$$p_o^o - p_w^o = p_c^o [psi] = p_c + 0.4335 \Delta\gamma \left(\frac{h}{2} - z \right)$$

Si se elige z coincidiendo con el plano de Sw máx. en el reservorio:

$S_w = 1 - S_{or}$, para $z = z_{1-S_{or}}$ donde $P_c = 0$

$$p_c^o = 0.4335 \Delta\gamma \left(\frac{h}{2} - z_{1-S_{or}} \right)$$

para $\Delta\gamma = 0.230$ y $h = 40$ ft

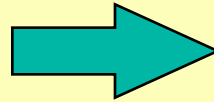
$$p_c^o = 0.1(20 - z_{1-S_{or}})$$

la p_c^o variará entre **2 y -2 psi** mientras **z** varía entre **0 y 40 ft**

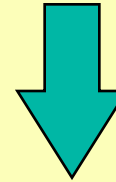
El máximo valor de P_c^o es para $S_{wmed} = S_{wc} = 0.2$, en este caso la S_w es tb 0,2 como en la base del reservorio según la fig. 1 correspondiente a P_c está mas allá de 3 psi, por lo tanto la diferencia de presiones de fase en el centro del reservorio debe ser como mínimo 5 psi

$$[(3 + (0.4335 * 0.230 * 40 / 2))] = 5 \text{ psi}$$

Usando la combinación de :

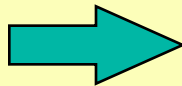


k_{rm} y P⁰c



en la ecuación de fw unidimensional

se obtiene:



**el promedio de flujo
a lo largo del centro del reservorio
análogo a lo visto para difuso,
con la única diferencia que
las k_r de laboratorio se reemplazan
por las k_{rm} y el gradiente capilar dP_c /dx
por dP⁰c /dx**

Se puede acá también **despreciar el gradiente de la pseudo presión capilar cuando se grafica el fw** para realizar los cálculos de recuperación de petróleo.

Sin embargo acá la relación entre la saturación y la pseudo presión capilar juegan un importante rol cuando se realiza una simulación numérica.

El mismo análisis puede hacerse para un **reservorio inclinado** pero reemplazando la proporcionalidad entre la $dP_c \propto dz$ por

$$dP_c \propto \cos \theta dy$$

donde “z” se mide verticalmente en la dirección del flujo e “y” en la dirección normal al buzamiento desde la base del reservorio.